



علی اکبر رسولی<sup>۱</sup>  
ایمان بابائیان<sup>۲</sup>  
هوشنگ قائمی<sup>۳</sup>  
پیمان زوار رضا<sup>۴</sup>

## بررسی تغییرات دمای سطح پهنه‌های آبی موثر بر ایران در دوره ۱۸۵۴-۲۰۰۸

تاریخ پذیرش مقاله: ۹۰/۰۵/۰۴

تاریخ دریافت مقاله: ۸۹/۰۹/۱۰

### چکیده

با توجه به اهمیت پهنه‌های آبی و دمای سطح آنها در تامین رطوبت کشور، سری‌های زمانی دمای سطح آب دریاهای خزر، سیاه، مدیترانه، سرخ، عمان و خلیج فارس در دوره ۱۸۵۴-۲۰۰۸ (۱۵۵ سال) مورد بررسی قرار گرفتند. در این مطالعه از داده‌های دمای سطح آب بازسازی شده (ERSST) که به روشی تلفیقی از مقادیر واقعی شامل داده‌های دیده بانی شده توسط بویه‌های ثابت و شناور، ایستگاه‌های هواشناسی دریایی ثابت، کشتی‌های اقیانوس شناسی، کشتی‌های داوطلب، سنجنده‌های ماهواره‌ای و روش‌های محاسباتی برای مناطق و دوره‌های فاقد داده در شبکه‌های منظم  $2 \times 2$  درجه جغرافیایی تهییه می‌شوند، استفاده شده است. نتایج این تحقیق نشان می‌دهد که در دوره مورد مطالعه بیشترین آهنگ افزایش دمای سالانه به میزان  $0.049^{\circ}\text{C}/\text{decade}$  درجه سانتی گراد در  $100$  سال در دریای عمان رخ داده است. پس از آن دریای سرخ، خلیج فارس و دریای مدیترانه به سانتی گراد در  $100$  سال) در دریای عمان رخ داده است.

E-mail: aarasuly@yahoo.com

E-mail: ibabaeian@yahoo.com

۱ - استاد گروه جغرافیای طبیعی، دانشگاه تبریز

۲ - دانشجوی دکتری اقلیم شناسی، دانشگاه تبریز

۳ - استاد هواشناسی، سازمان هواشناسی کشور

۴ - استاد گروه مطالعات محیطی، دانشگاه کانتربری، نیوزلند

ترتیب با آهنگ افزایش  $0/0027$ ،  $0/0019$  و  $0/0028$  درجه سانتی گراد در سال در رتبه های بعدی قرار دارند. روند تغییرات دما در چهار پهنه آبی مذکور معنی دار است. در همین دوره آهنگ تغییرات دریاهای خزر و سیاه بسیار کم بوده و معنی دار نمی باشند. تحلیل داده های مورد استفاده در ۲۵ ساله اخیر نشان می دهد که آهنگ افزایش سالانه دما در تمامی پهنه های آبی یاد شده چندین برابر شده که آهنگ افزایش دمای دریای خزر از سایر پهنه ها بیشتر می باشد. با اعمال آزمون من-کندا، مشخص شد که در سال های  $1954$ ،  $1972$  و  $1980$  در الگوی زمانی دمای پهنه های آبی خلیج فارس، دریای سرخ و مدیترانه تغییرات ناگهانی رخ داده است.

**کلید واژه ها:** تغییر اقلیم، پهنه های آبی منطقه ای، دمای سطح آب، روند، ایران.

#### مقدمه

پژوهش های زیادی نشان داده اند که تغییرات دمای سطح آب اقیانوس ها و گستره های آبی می توانند تاثیر معنی داری بر نوسان های بارش در سطح خشکی های زمین داشته باشند. تاثیر دمای سطح آب محدود به نقاط ساحلی نبوده بلکه نواحی بسیار دور از دریا نیز می توانند تحت تاثیر تغییر الگوهای دمای سطح گستره های آبی قرار گیرند (ناظم السادات، ۱۳۸۳، ۱). در کشورمان دمای سطح آب دریای خزر در بارش های پاییزه سواحل جنوبی آن نقش شناخته شده ای دارد؛ به طوری که اختلاف بین دمای سطح این دریا و هوا در اواخر تابستان و اوایل پاییز به حداقل خود می رسد و بدین جهت هوای سرد و خشک سیبری پس از عبور از روی دریای خزر ناپایدار شده و در سواحل ایران موجب بارندگی می گردد. در دوره سرد سال به دلیل گرم بودن دمای سطح آب دریای مدیترانه در مقایسه با دمای هوا، توده هوای قاره ای قطبی و دریایی قطبی با عبور از روی دریای مدیترانه و کسب گرما از آن ناپایدار شده و به توده هوای مدیترانه ای تبدیل می شوند که بارندگی های زمستانه اکثر نقاط ایران را فراهم می کنند. در فصل گرما نیز آب های گرم جنوب و جنوب شرقی در آب و هوای ایران اثر می گذارند. در این دوره رطوبت اقیانوس هند به ویژه خلیج بنگال از طریق گردش عمومی هوا در اطراف کم فشار پاکستان وارد قسمت های جنوب شرقی کشور شده که در صورت داشتن ضخامت کافی سبب رگبار های تابستانه می شوند (علیجانی، ۱۳۸۳، ۴). تاثیر دمای سطح آب اقیانوس ها و پهنه های آبی منطقه ای بر بارش های ایران توسط محققان مختلفی بررسی شده است. ناظم السادات و همکاران نشان دادند که دمای سطح آب اقیانوس آرام جنوبی از طریق پدیده النینو بر روی ترسالی ها و خشکسالی های ایران موثر بوده و احتمال وقوع خشکسالی در دوره های النینو کمتر و در دوره

های لانينا بیشتر است. آنها همچنین با استفاده از مدل تحلیل همبستگی متعارف (CCA)<sup>۰</sup> و توابع تجربی متعامد (EOF)<sup>۱</sup> و دمای سطح آب در منطقه انسو، بارش های زمستانه سواحل دریای خزر را پیش بینی نمودند (ناظم السادات و همکاران، ۱۳۸۵، ۳۶۹؛ ناظم السادات و همکاران، ۱۳۸۳، ۱۶).

لویتس و همکاران با بررسی تغییرات میانگین دمای اقیانوس های کره زمین طی دوره ۱۹۴۸ تا ۱۹۹۸، نشان دادند که از نیمه دوم دهه ۱۹۵۰ تا ۱۹۹۸ میانگین دمای اقیانوس ها به میزان ۰/۳۱ درجه سانتی گراد تا عمق ۳۰۰ متری اقیانوس افزایش یافته است. آنها نشان دادند که تغییرات معنی دار در افزایش دمای اقیانوس اطلس و آرام از دهه ۱۹۵۰ و اقیانوس هند از نیمه دوم دهه ۱۹۶۰ آغاز شده است (لویتس<sup>۷</sup> و همکاران، ۲۰۰۰b، ۲۲۲۷). بیندورف و مک دوگال با بررسی داده های دیده بانی از سال ۱۹۵۹ نشان دادند که میانگین دما در اقیانوس آرام جنوبی تا عمق ۹۰۰ متری حداقل تا ۰/۵ درجه سانتی گراد افزایش یافته است (بیندورف و مک دوگال، ۱۲۱۸، ۲۰۰۰). دمای سطح آب اقیانوس ها و تغییرات آن تاثیر به سزاپی در توزیع بارش کره زمین، تعداد رویدادهای جوی-دریایی و ارتفاع سطح اقیانوس ها و دریاهای آزاد دارد، به نحوی که ورودی اولیه اغلب مدل های پیش بینی اقلیمی، دمای سطح پهنه های آبی می باشد (گودارد<sup>۹</sup> و همکاران، ۲۰۰۱، ۱۱۴۵؛ بارنستون و اسمیت<sup>۱۰</sup>، ۱۹۹۶، ۲۶۸۱). سیگفراید و همکاران با استفاده از مدل های گردش عمومی جو و تحلیل خروجی آن ها با روش EOF نشان دادند که نوسانات فرکانس کم بارش در بخش هایی از آمریکا با نوسانات دوره ای دمای سطح اقیانوس آرام شرقی هماهنگ است (سیگفراید و همکاران، ۲۰۰۳، ۴۹۴). نلمن و همکاران در قالب مطالعات برنامه توسعه محیطی سازمان ملل متحد<sup>۱۱</sup> نشان دادند که دمای میانگین دریای شمال از اوخر قرن گذشته تاکنون ۰/۵ درجه سانتی گراد افزایش یافته است. ادامه روند فعلی موجب افزایش دمای سطح آب این دریا تا ۶ درجه سانتی گراد تا سال ۲۱۰۰ خواهد شد (نیلمن<sup>۱۲</sup> و همکاران، ۲۰۰۷، ۱۳۸-۱۳۷). افزایش دمای سطح آب پهنه های آبی موجب افزایش رخدادهای حدی اقیانوسی می گردد، به طوری که افزایش نیم درجه ای در دمای سطح آب دریا موجب افزایش ۴۰ درصدی در تعداد طوفان های دریایی می گردد (ساندرز و لی<sup>۱۳</sup>، ۲۰۰۷، ۵۵۹).

5- Canonical Correlation Analysis

6- Empirical Orthogonal Function

7- Levitus

8- Bindoff and McDougall

9- Goddard

10- Bannston and Smith

11- United Nation Development Program

12- Nellmann

13- Saunders and Li

دماهی فعلی سطح آب دریاهای کره زمین حدود یک درجه سانتی گراد نسبت به ۱۴۰ سال گذشته بیشتر است که یکی از دلایل فیزیکی تغییر اقلیم می باشد. سرعت افزایش دماهی سطح آب در دریاهای اروپا سریع تر از سایر پهنه های آبی کره زمین است. شواهد نشان می دهند که اکوسیستم های دریایی اروپا تحت تاثیر افزایش دماهی سطح آب دریاهای قرار گرفته اند (فین<sup>۱۴</sup> و همکاران، ۲۰۰۸، ۸۱). پائت و همکاران نشان دادند که افزایش دماهی آب موجب افزایش بارش های تابستانه می شود و با بکارگیری مدل های ریاضی نتیجه گرفتند که افزایش دماهی اقیانوس موجب تقویت رژیم بارشی موسمی می گردد (پائت و هنس<sup>۱۵</sup>، ۲۰۰۴، ۲۰۷).

گرمای دریافتی توسط اقیانوس اطلس شمالی در طی ۵۰ سال گذشته موجب افزایش شار گرمایی در سطح اقیانوس به میزان ۴/۰ وات بر متر مربع شده است؛ اما این افزایش شار گرمایی به طور یکسان در این حوضه آبی توزیع نشده است، در حالی که بخش های حاره ای و جنب حاره ای آن با افزایش شار گرمایی مواجه بوده است، در بخش جنب قطبی آن شار گرمایی ورودی کاهش یافته است (لوزیر<sup>۱۶</sup>، ۲۰۰۸، ۸۰۳-۸۰۲). گزارش چهارم هیات بین الدول تغییر اقلیم تایید کرده است که علیرغم عدم تغییر قابل ملاحظه در دماهی سطح آب اقیانوس هند در دوره ۱۹۰۰-۱۹۷۰، دماهی این پهنه آبی از سال ۱۹۷۰ تا ۱۹۹۹ به طور متوسط ۰/۲ درجه سانتی گراد در دهه افزایش یافته است (گزارش چهارم هیات بین الدول تغییر اقلیم، ۲۰۰۸، ۴۰۱). بررسی دماهی سطح آب های مجاور کشور ایرلند از سال ۱۸۵۰ تا ۲۰۰۷ نشان می دهد که دماهی سطح آب این دریا حدود ۰/۳ درجه سانتی گراد افزایش یافته است. در این دوره سال های ۲۰۰۵، ۲۰۰۶ و ۲۰۰۷ گرم ترین سال ها بوده اند (کتابی و هوشرواغلو<sup>۱۷</sup>، ۲۰۰۹، ۲۰۰۳، ۱۴۸۳).

افزایش گازهای گلخانه ای موجب افزایش میانگین دماهی کره زمین در دهه های اخیر شده است. گرمایش کلی کره زمین علاوه بر افزایش دماهی سطح زمین می تواند موجب افزایش دماهی سطح پهنه های آبی گردد که پیامدهای آن افزایش آهنگ تزریق بخار آب به جو و افزایش رخداد پدیده های جوی-اقیانوسی مانند طوفان های دریایی می باشد. با توجه به موارد فوق، هدف این مطالعه بررسی روند احتمالی در افزایش دماهی پهنه های آبی واقع در همسایگی ایران شامل دریاهای خزر، سیاه، مدیترانه، عمان و سرخ و همچنین خلیج فارس طی دوره ۱۸۵۴-۲۰۰۸ و مقایسه آن با آهنگ افزایش دماهی دهه های اخیر به تفکیک پهنه های آبی می باشد.

14 -Feyen

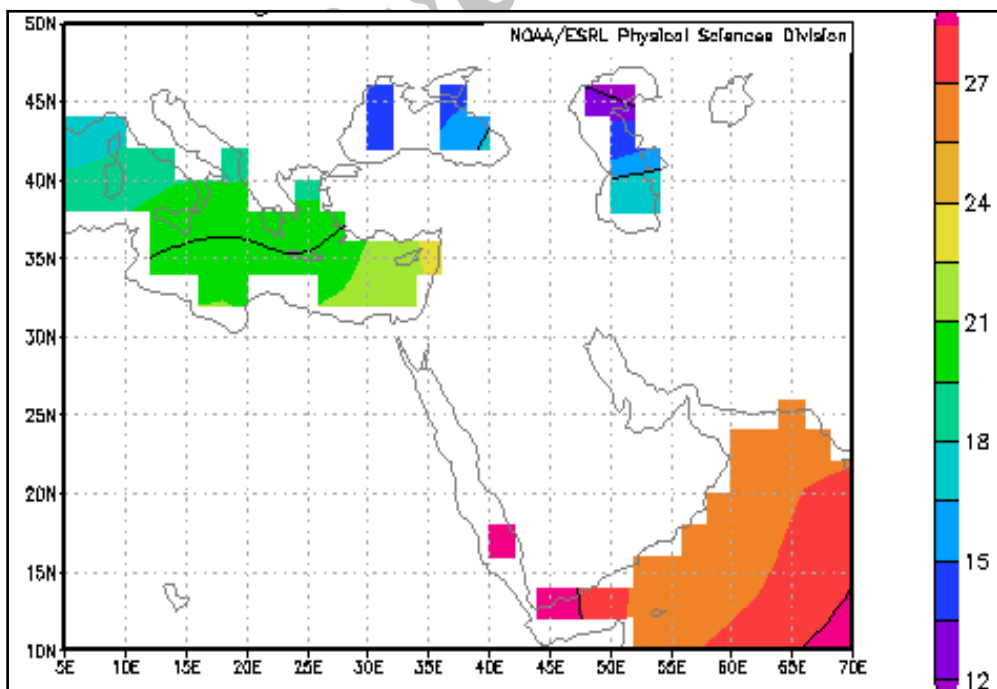
15 - Paeth and Hense

16 - Lozier

17 - Cannaby and Husrevoglu

## مواد و روش ها

ناحیه مورد مطالعه شامل دریاهای خزر، سیاه، مدیترانه، سرخ، عمان و خلیج فارس می باشد. به جز چهار پهنه آبی دریاهای خزر، سیاه، سرخ و خلیج فارس که مرز آبی آنها کاملا مشخص است، مرز آبی در نظر گرفته شده برای دریای مدیترانه و دریای عمان به ترتیب شرق نصف النهار ۱۰ درجه شرقی و شمال مدار ۲۰ درجه شمالی انتخاب شده است. در شکل ۱ محدوده مورد مطالعه و موقعیت پهنه های آبی مورد نظر و میانگین دمای سالانه دوره ۲۰۰۹-۱۸۵۴ ارائه شده است. در این مطالعه داده های ماهانه شبکه ای ERSST<sup>۱۸</sup> به کار برده شده که با استفاده از داده های فراگیر دیده بانی شده جوی - اقیانوسی (COADS<sup>۱۹</sup>) با توان تفکیک ۲×۲ درجه تهیه شده اند. داده های فراگیر جوی اقیانوسی شامل کلیه اندازه گیری های واقعی دما توسط کشتی ها، بویه های شناور، ایستگاه های ثابت دریایی و سنجنده های ماهواره ای سازمان اقیانوس شناسی و هواشناسی آمریکا می باشند. بر روی داده های مذکور فرایند های کنترل کیفی و روش های بهبود یافته بازسازی انجام گردیده است. علاوه بر آن در تهیه آنها خطأ و عدم قطعیت به دو روش نمونه ای و تحلیلی مد نظر قرار گرفته است. از آنجا که داده های دیده بانی قبل از سال ۱۸۸۰ به صورت بسیار پراکنده جمع آوری شده، لذا واریانس دوره ۱۸۵۴-۱۸۸۰ با بکارگیری رفتار داده های دیدبانی های انجام شده بعد از این دوره و از روش های آماری بهبود یافته است.

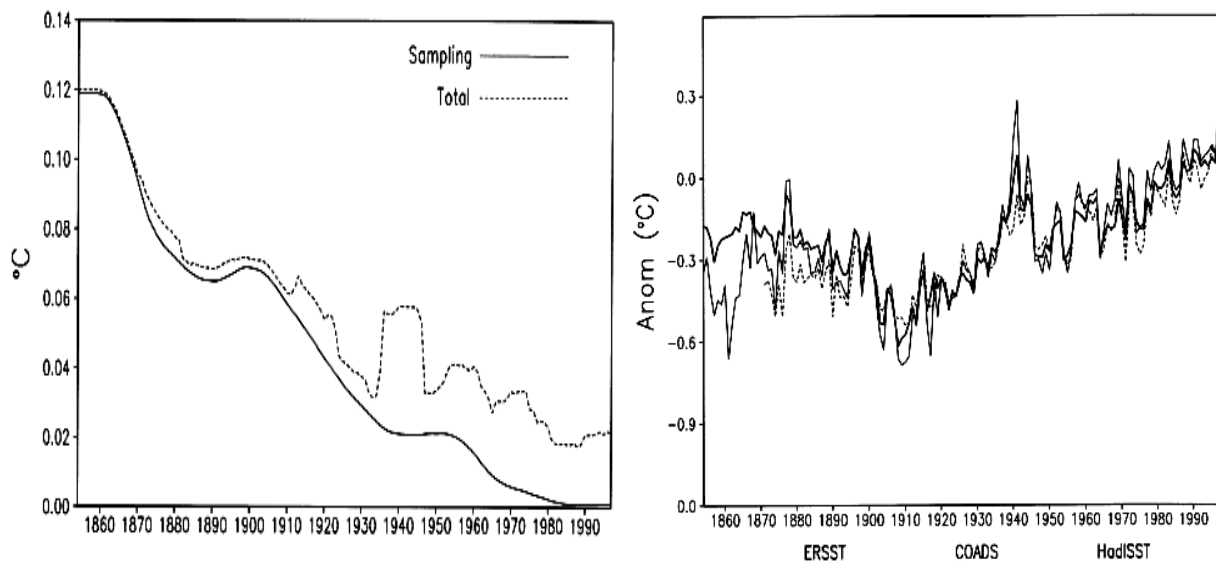


شکل شماره ۱- موقعیت جغرافیایی پهنه های آبی مورد مطالعه به همراه میانگین دمای سالانه دوره ۱۸۵۴-۲۰۰۹

18 -Extended Reconstructed Sea Surface Temperature

19 -Comprehensive Ocean-Atmosphere Data Set- release 2

داده های دمای سطح آب ERSST با داده های HadISST<sup>۲۰</sup> که توسط مرکز هادلی سازمان هواشناسی انگلیس تهیه شده است، همخوانی دارند. در شکل ۲ میزان خطای مربع میانگین سری دمایی ERSST و میزان تطابق آنها با داده های مرکز هادلی آورده شده است (رینولدز و اسمیت<sup>۲۱</sup>، ۱۹۹۴؛ ۹۴۴؛ اسمیت و رینولدز، ۲۰۰۲، ۲۰۰۳).



شکل شماره ۲-نمودار خطای مربع میانگین (شکل چپ) و میزان تطابق داده های ERSST با داده های HadISST و داده های اولیه COADS (شکل راست)-(از: اسمیت و رینولدز، ۲۰۰۲).

برای میانگین گیری وزنی دما در هر پهنه آبی، یک برنامه کامپیوتراًی در محیط GrADS<sup>۲۲</sup> تدوین گردید که بر اساس تعداد شبکه های  $2 \times 2$  درجه موجود در هر پهنه آبی میانگین دما را در پهنه مورد نظر محاسبه می نمود. با ایجاد پایگاه داده ها برای هر کدام از پهنه های آبی در محیط نرم افزاری، مقادیر ضرایب روند خطی هر کدام از سری مشاهدات دمای سطح دریا محاسبه و نمودارهای گرافیکی مربوطه تهیه شدند.

برای بررسی وجود روند، نقطه شروع تغییر ناگهانی و معنی دار بودن ضرایب روند در سری زمانی SST از آزمون رتبه ای من-کنداش استفاده شد. آزمون من-کنداش برای بررسی تصادفی بودن و تعیین روند در سری ها استفاده می شود. در ابتدا این آزمون برای مشخص کردن غیرپارامتری بودن سری ها به کار می رود. بدین ترتیب که سری های آماری به ترتیب صعودی مرتب و رتبه بندی می شوند. در این آزمون تصادفی بودن داده ها با عدم وجود روند

20 - Hadley center Interpolated Sea Surface Temperature

21 - Reynolds and Smith

22- Grid Analysis and Display System

مشخص می شود. در صورت وجود روند داده ها غیر تصادفی بوده و برای تعیین تصادفی بودن داده ها مراحل زیر بر اساس معادلات داده شده طی می شود (عزیزی و روشنی، ۱۳۸۷؛ ۱۳-۲۸؛ ازبر<sup>۳۳</sup> و همکاران، ۲۰۰۷، ۶۷۹-۶۶۷).

$$t = \sum_i n_i \quad \text{معادله ۱}$$

در فرض صفر توزیع  $t$  در حد نرمال بوده که مقدار قابل انتظار و واریانس مربوطه طبق معادلات ۲ و ۳ قابل برآورد می باشدند.

$$E(t) = \frac{n(n-1)}{4} \quad \text{معادله ۲}$$

$$Var(t) = \frac{n(n-1)(2n+5)}{72} \quad \text{معادله ۳}$$

در صورت وجود روند، فرضیه صفر با مقادیر بالای قدر مطلق  $(t)u$  طبق معادله ۴ رد خواهد شد.

$$u(t) = \frac{[t - E(t)]}{\sqrt{\text{var}(t)}} \quad \text{معادله ۴}$$

بنابراین، طبق رابطه  $0 < u(t)$  مقادیر روند مثبت و در حالت عکس طبق رابطه  $0 > u(t)$  روند در سری مشاهدات منفی خواهد بود. در تحقیق جاری، سطح اطمینان در حد ۹۵ درصد در نظر گرفته شد و اصل فوق برای سری های زمانی معکوس نیز بر اساس معادله ۵ محاسبه گردید.

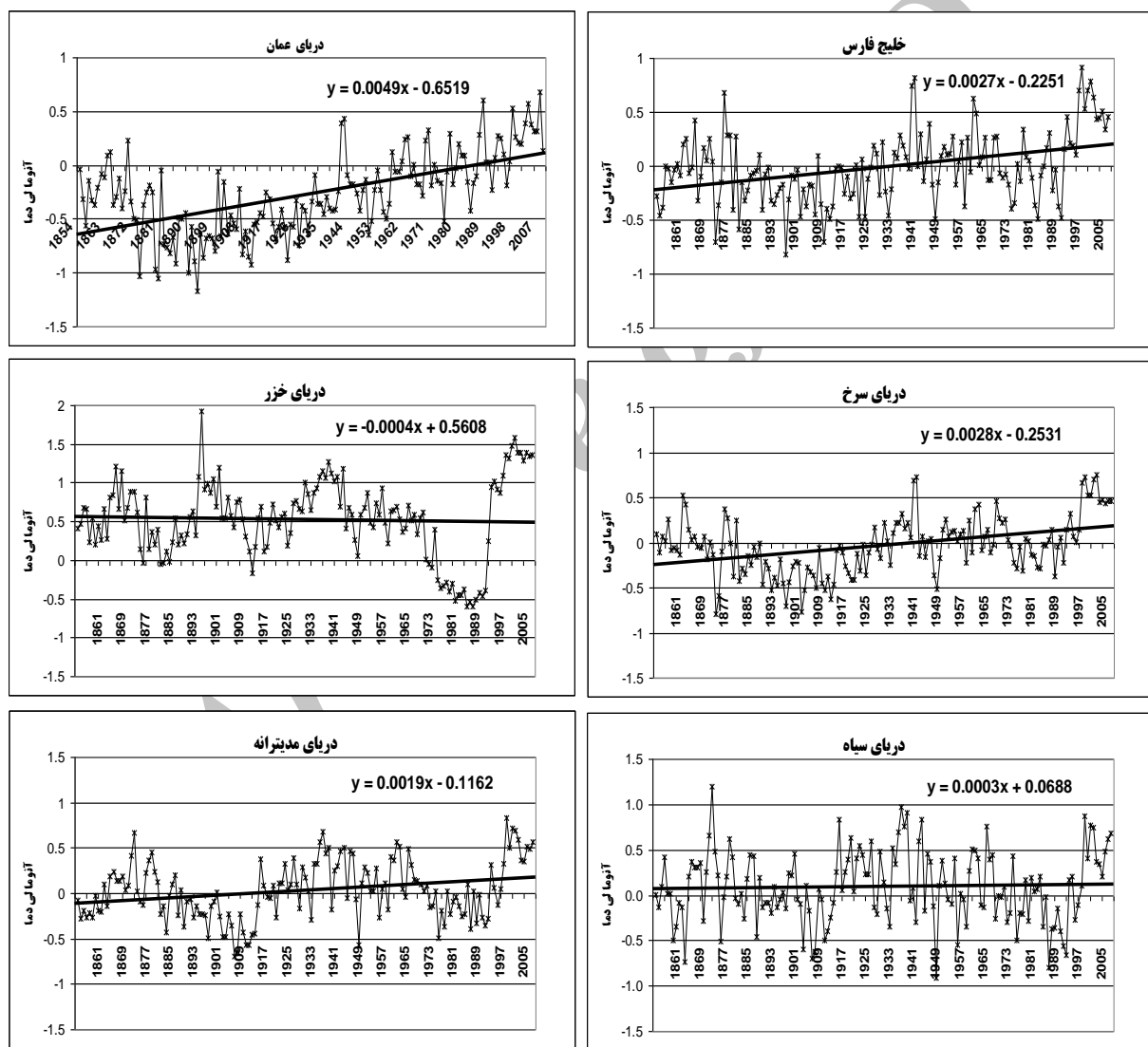
$$u_i' = -u(t_{i'}) \quad \text{معادله ۵}$$

هر گاه روند در سطح معنی داری مشخصی قابل قبول باشد، می توان با کمک آزمون من کنال نقطه تغییر را نیز پیدا کرد؛ به شکلی که دنباله های  $u_i$  و  $u_i'$  در نقطه شروع تغییرات یکدیگر را قطع خواهند کرد. در حالی که اگر روند وجود نداشته باشد، دو دنباله مذکور تقریباً بصورت موازی حرکت خواهند کرد و یا با چند بار برخورد به طوری که به تغییر جهت آنها منجر نشود، عمل می کنند.

### بحث

با استفاده از میانگین دمای ماهانه و تعداد شبکه های موجود در هر پهنه آبی، دمای سالانه دریاهای خزر، عمان، سرخ، مدیترانه، سیاه و خلیج فارس در دوره ۱۸۵۴-۲۰۰۸ محاسبه گردید. در شکل ۳ ناهنجاری سالانه دمای هر

یک از پهنه های آبی نسبت به دوره ۱۹۶۱-۱۹۹۰ نشان داده شده است. بر روی هر کدام از نمودارهای یاد شده خط روند ناهنجاری دما نیز ترسیم شده است. همانطور که ملاحظه می شود به استثنای دریای خزر که روند دمایی منفی ضعیفی دارد، در سایر دریاها دما افزایش یافته است. علاوه بر دریای خزر که دمای آن نسبت به دوره ۱۹۶۱-۱۹۹۰ کاهش یافته است، افزایش دمای دریای سیاه نیز نسبت به دوره ۱۹۶۱-۱۹۹۰ قابل ملاحظه نمی باشد. در بین پهنه های آبی مورد بررسی بیشترین افزایش دما در دریای عمان رخ داده است. پس از آن بیشترین افزایش به ترتیب در دریای سرخ و خلیج فارس دیده می شود که با دریاها آزاد و اقیانوس ها مرتبط هستند.



شکل شماره ۳- ناهنجاری دمای سطح آب در شش پهنه آبی منطقه خاورمیانه در دوره ۱۸۵۴-۲۰۰۸ (با استفاده از داده های ERSST).

بنابراین به نظر می رسد دلیل افزایش دمای پهنه های آبی نه از افزایش دمای هوا بلکه ناشی از انتقال شارکرمای اقیانوسی از منطقه حاره و از طریق اختلاط جریان های بزرگ مقیاس اقیانوسی باشد. به همین جهت دریای خزر به

علت بسته بودن و عدم دریافت انرژی گرمایی از جریان های حاره ای اقیانوسی با کاهش میانگین دما (هر چند ضعیف) مواجه شده است و همچنین دریای سیاه به خاطر ارتباط کم آن با جریان های اقیانوسی، میزان افزایش دمای قابل ملاحظه ای ندارد.

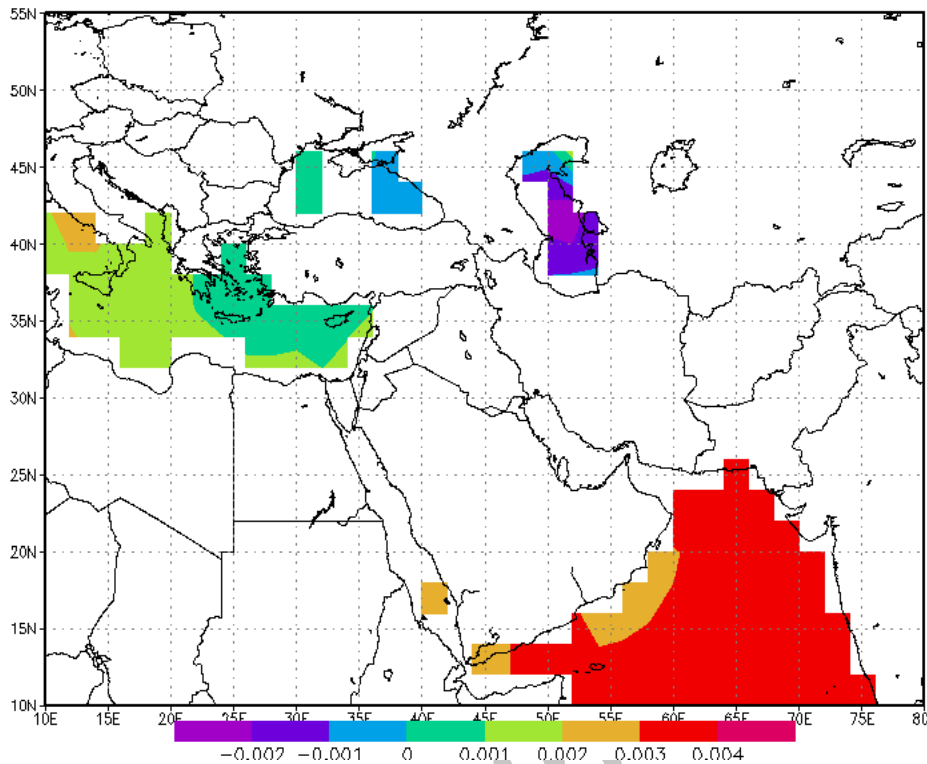
آهنگ تغییرات دمای شش پهنه آبی تحت مطالعه در ۲۵ سال اخیر نیز بررسی گردید که نتایج آن در جدول ۱ (بر حسب درجه سانتی گراد بر سال) برای دو دوره ۲۵ ساله اخیر و کل دوره آماری (۱۵۵ ساله) آورده شده است. بیشترین افزایش آهنگ دما در دوره ۱۵۵ ساله به میزان ۰/۰۰۵ درجه سانتی گراد بر سال در دریای عمان رخ داده است که معادل ۰/۵ درجه در ۱۰۰ سال است، درحالی که آهنگ افزایش دمای آن در ۲۵ ساله اخیر به ۲/۱ درجه سانتی گراد در ۱۰۰ سال افزایش یافته است که نشان دهنده افزایش بیش از چهار برابری آهنگ افزایش دما در این پهنه آبی طی دوره اخیر می باشد. افزایش دمای دریای سرخ در دوره ۱۵۵ ساله حدود ۳ درجه در هزار سال است، اما آهنگ آن در دوره ۲۵ ساله اخیر با افزایش بیش از ده برابری به ۳/۵ درجه در صد سال رسیده است.

جدول ۱- مقایسه آهنگ تغییرات دمای شش پهنه آبی مورد مطالعه در دو دوره ۲۵ ساله اخیر (۱۹۸۴-۲۰۰۸) و دوره ۱۵۵ ساله -۲۰۰۸

(مرجع: داده های ERSST ۱۸۵۴)

پهنه آبی	آهنگ تغییرات سالانه دما (°C) دریای عمان	آهنگ تغییرات سالانه دما (°C) دریای سرخ	آهنگ تغییرات سالانه دما (°C) خلیج فارس	آهنگ تغییرات سالانه دما (°C) دریای مدیترانه	آهنگ تغییرات سالانه دما (°C) دریای سیاه	آهنگ تغییرات سالانه دما (°C) دریای خزر	آهنگ تغییرات سالانه دما (°C) میانگین
۰/۰۰۴۹	۰/۰۲۱۴			۰/۰۰۱۹			
۰/۰۰۲۸	۰/۰۳۵۲			۰/۰۰۲۷			
۰/۰۰۰۳	۰/۰۳۶۶			۰/۰۰۱۱			
۰/۰۰۰۴	۰/۰۴۶۲			۰/۰۰۰۴			
۰/۰۰۲۰	۰/۰۴۷۹			۰/۰۰۶۲			

در ۲۵ ساله اخیر، آهنگ افزایش دمای سطح آب خلیج فارس و بخش های شرقی و مرکزی دریای مدیترانه از ۲/۷ و ۲ درجه سانتی گراد بر هزار سال در دوره ۱۵۵ ساله به ترتیب به ۳/۷ و ۴ درجه سانتی گراد در صد سال افزایش یافته است.

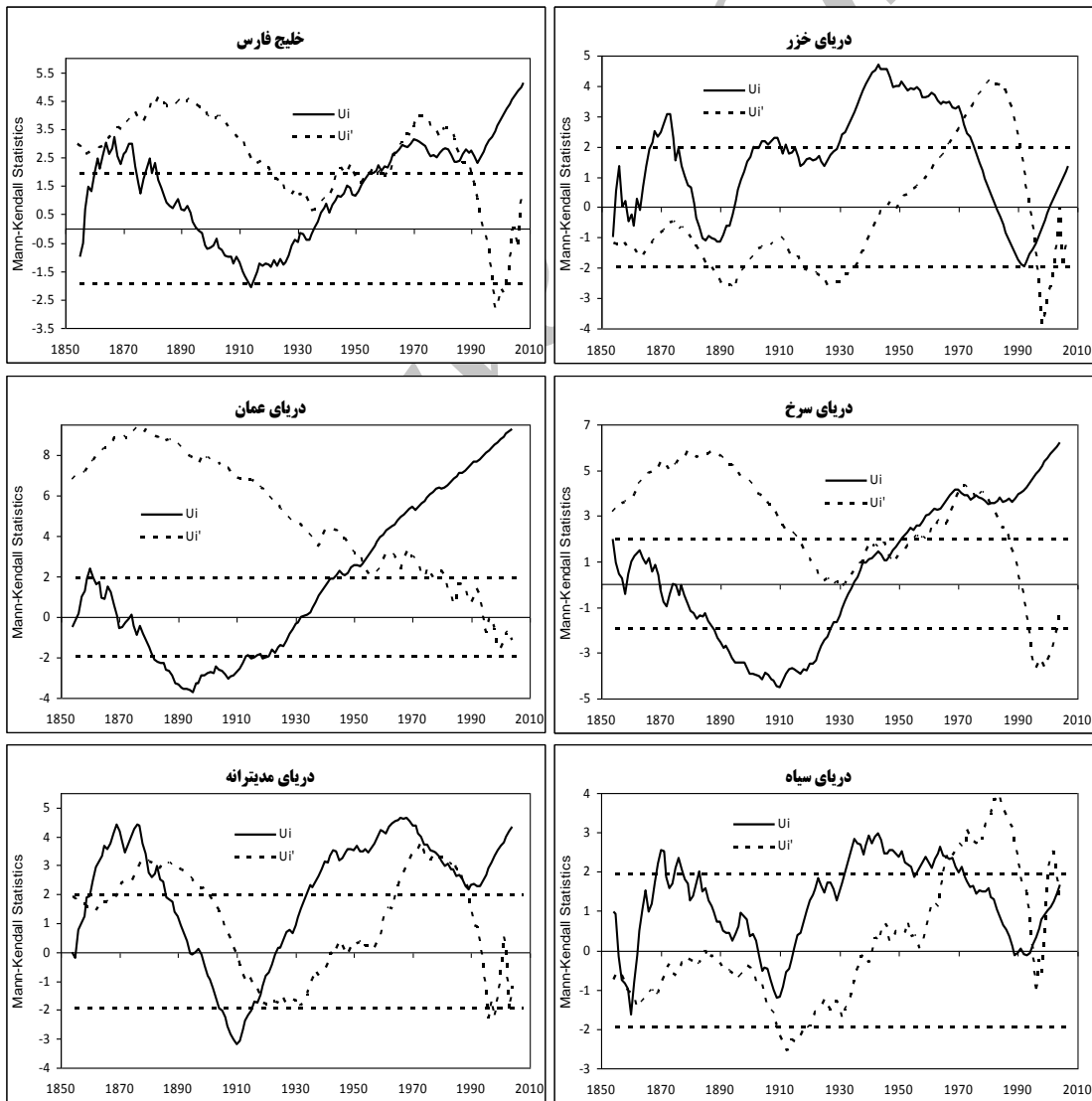


شکل شماره ۴- آهنگ تغییرات دمای پهنه های آبی مورد مطالعه در دوره ۱۸۵۴-۲۰۰۸.

آهنگ تغییرات دمایی دو پهنه آبی دریای خزر و سیاه با دیگر پهنه های آبی که با اقیانوس ها مرتبط هستند، متفاوت است. دریای سیاه که مرز مشترک آن با دریاهای آزاد و اقیانوس چندان زیاد نیست، میزان افزایش آن بسیار کم و در حد ۴ درجه سانتی گراد در ده هزار سال است و دریای خزر که هیچگونه ارتباطی با آب های آزاد ندارد، بر خلاف سایر پهنه های آبی، میانگین دمای سطح آن در دوره ۱۵۵ ساله (۱۸۵۴-۲۰۰۸) به میزان ۴ درجه در ده هزار سال کاهش یافته است. این موضوع حاکی از نقش بسیار مهم فرارفت انرژی گرمایی از طریق جریان های اقیانوسی مناطق حاره می باشد، به طوری که دریای عمان دارای بیشترین آهنگ افزایش دما می باشد. یکی از علل سرد شدن دریای خزر، افت شدید دمای آن در دوره ۱۹۷۲-۱۹۹۳ می باشد (شکل ۳). در این دوره ۲۲ ساله میانگین دمای این دریا حدود یک درجه نسبت به دوره ۱۸۵۴-۲۰۰۸ کاهش یافته است که این کاهش دما، با شدت کمتر، در همین دوره در دریای مدیترانه و تا حدودی در دریای سیاه نیز دیده می شود؛ اما علاقه‌منی از آن در سری زمانی دمای دریای عمان مشاهده نمی شود. دریاهای سیاه و خزر در ۲۵ ساله اخیر دارای روند افزایش دما می باشند که آهنگ افزایش دمای دریای خزر بسیار شدید و در حد یک درجه در ده سال می باشد.

برای بررسی روند و زمان تغییرات در دمای سطحی شش پهنه آبی از آزمون رتبه ای من-کنداش استفاده شد. در شکل ۵ الگوی زمانی آماره های  $\alpha$  و  $\beta$  روند دمای سالانه به همراه محدوده اطمینان ۹۵٪ برای هر یک از شش

پهنه آبی ترسیم شده است. منحنی های  $U_i$  و  $U'_i$  مربوط به دریای عمان، خلیج فارس، دریای سرخ و دریای مدیترانه به کرات تقاطع داشته و در نهایت منحنی  $U_i$  در خارج از محدوده اطمینان قرار گرفته و دارای روند افزایش دمای معنی دار می باشدند. اگر هریک از منحنی های یادشده در محدوده اطمینان قرار گرفته باشند و تقاطعی نداشته، یا به کرات تقاطع داشته باشند، بدون روند محسوب می شوند و تقاطع در این موقع نشان از جهش در دمای سطح پهنه آبی دارد؛ اما تغییر ناگهانی در سری های آماری دریای عمان، خلیج فارس، دریای سرخ و دریای مدیترانه به ترتیب در سال های ۱۹۵۴، ۱۹۸۱، ۱۹۷۲ و ۱۹۸۰ رخ داده است. پس از سال های مذکور منحنی  $U_i$  به داخل محدوده اطمینان برنگشته است. در دو دریای سیاه و خزر به دلیل اینکه روند ها معنی دار نیستند، نقطه تغییر مشخص نشد.



شکل شماره ۵- نمودار آماره  $U$  و  $U'$  برای بررسی وجود روند و نقطه شروع تغییر در سری زمانی دمای سطح دریا

در جدول ۲ مقدار آماره من-کنдал، وضعیت روند و مقادیر معنی داری آنها درج شده است. علی‌رغم اینکه شکل ۵ روند افزایشی مثبت را در سری زمانی تمامی پهنه‌های آبی نشان می‌دهد، ولی بر اساس جدول ۲ فقط وجود روند در سری زمانی دمای خلیج فارس، دریای عمان، دریای سرخ و مدیترانه در سطح ۹۹ درصد معنی دار هستند و روند موجود در سری زمانی دریاهای خزر و سیاه معنی دار نمی‌باشند.

جدول ۲- آماره من - کنдал، وضعیت و سطح معنی داری روند در سری زمانی دمای سطح دریا

سال تغییر ناگهانی	سطح معنی داری	روند	مقدار آماره من - کنдал	پهنه آبی
۱۹۸۱	۹۹ درصد	افزایشی	۵/۱۲	خلیج فارس
-	معنی دار نیست	افزایشی	۱/۳۷	دریای خزر
۱۹۵۴	۹۹ درصد	افزایشی	۹/۲۷	دریای عمان
۱۹۷۲	۹۹ درصد	افزایشی	۶/۲۰	دریای سرخ
۱۹۸۰	۹۹ درصد	افزایشی	۴/۳۵	دریای مدیترانه
-	معنی دار نیست	افزایشی	۱/۶۷	دریای سیاه

### نتیجه گیری

نتایج این تحقیق نشان می‌دهد که در دوره ۱۵۵ ساله (۱۸۵۴-۲۰۰۸)، به استثنای دریای خزر با روند دمایی منفی ضعیف و دریای سیاه با تغییر غیر قابل ملاحظه نسبت به دوره ۱۹۶۱-۱۹۹۰، در سایر پهنه‌های آبی میانگین دمای سالانه افزایش یافته است. در بین پهنه‌های آبی مورد بررسی، بیشترین آهنگ افزایش دمای سالانه در پهنه‌های آبی متصل به آب‌های آزاد شامل دریای عمان، دریای سرخ و خلیج فارس به ترتیب با ۰/۰۰۴۹ (حدود ۰/۵ درجه در ۱۰۰ سال)، ۰/۰۰۲۸ و ۰/۰۰۲۷ درجه سانتی گراد در سال رخ داده است. دریاهای خزر و سیاه به دلیل بسته بودن و یا ارتباط ضعیف با اقیانوس‌ها و دریاهای آزاد و عدم دریافت انرژی گرمایی از جریان‌های حاره‌ای اقیانوسی با کاهش میانگین دما (هر چند ضعیف) و یا افزایش نه چندان قابل ملاحظه دما مواجه شده‌اند. دریای عمان به دلیل ارتباط مستقیم با اقیانوس هند دارای بیشترین افزایش آهنگ دما می‌باشد. بنابراین به نظر می‌رسد افزایش دمای پهنه‌های آبی ناشی از تبادل شارگرمایی از طریق اختلاط با جریان‌های بزرگ مقیاس اقیانوسی باشد. نتایج این تحقیق نشان می‌دهد که آهنگ افزایش دمای تمامی پهنه‌های آبی در ۲۵ ساله اخیر در مقایسه با میانگین دوره ۱۵۵ ساله چندین برابر شده است. به عنوان نمونه سرعت افزایش دمای دریای عمان تقریباً دو برابر شده است. هر دو دریای سیاه و خزر در ۲۵ ساله اخیر دارای روند افزایش دمای شدید و در حد یک درجه در ده سال می‌باشند.

رونده افزایش در سری های زمانی دمای خلیج فارس، دریای عمان، دریای سرخ و مدیترانه در سطح ۹۹ درصد معنی دار هستند، اما روند محاسبه شده برای سری های زمانی دریاهای خزر و سیاه معنی دار نمی باشند. تغییرات ناگهانی در الگوی زمانی دمای پهنه های آبی خلیج فارس، دریای عمان، دریای سرخ و مدیترانه به ترتیب در سال های ۱۹۸۱، ۱۹۷۲، ۱۹۵۴ و ۱۹۸۰ رخ داده است.

Archive of SID

## منابع

- ۱- عزیزی، ق، روشنی، م (۱۳۸۷)، «مطالعه تغییر اقلیم در سواحل دریای خزر به روش من-کنдал»، *پژوهش های جغرافیایی*، شماره ۶۴، صص ۲۸-۱۳.
- ۲- عسگری ا، رحیم زاده، ف (۱۳۸۵)، «مطالعه تغییرپذیری بارش دهه های اخیر ایران»، *پژوهش های جغرافیایی*، شماره ۵۸، صص ۸۰-۶۷.
- ۳- علیجانی، ب (۱۳۸۳)، *آب و هوای ایران*، انتشارات دانشگاه پیام نور، ص ۲۲۱.
- ۴- نظام السادات، م ج، رحیمی م، کشاورزی ع (۱۳۸۵)، «ارزیابی تاثیر پدیده النینو نوسان جنوبی بر آبدھی و خشکسالی (ترسالی) هیدرولوژیکی رودخانه های استان فارس»، *مجله علوم کشاورزی*، شماره ۳۷، صص ۳۶۹-۳۶۱.
- ۵- نظام السادات، م ج، قاسمی ا، ر (۱۳۸۳)، «تأثیر نوسان های دمای سطح دریای خزر بر بارش فصول زمستان و بهار نواحی شمالی و جنوب غربی ایران»، *مجله علوم و فنون کشاورزی*، سال هشتم، شماره ۴، صص ۱۴-۱.
- ۶- نظام السادات، م ج، شیروانی، ا (۱۳۸۳)، «کاربرد CCA به منظور ارزیابی و مقایسه توانایی SOI و Nino's SST در پیش بینی بارش زمستانه سواحل دریای خزر»، *مجله علوم و فنون کشاورزی و منابع طبیعی*، سال هشتم، شماره اول، صص ۲۴-۱۱.
- 7- Barnston, A G, smith T M, (1996), "Specification and prediction of global surface temperature and precipitation from global SST using CCA", *Journal of Climate*, Vol 9, PP 2660-2697.
- 8- Bindoff, N L, Willebrand J, Artale V, Cazenave A, Gregory J, Gulev S, Hanawa K, Le A, Quéré C, Levitus S, Nojiri Y, Shum C K, Talley, Unnikrishnan L D, (2007), "Observations: Oceanic Climate Change and Sea Level", Climate Change 2007: The Physical Science Basis. Contribution of Working Group I to the Fourth Assessment Report of the Intergovernmental Panel on Climate Change, Cambridge University, 996 PP.
- 9- Bindoff, N L, Mc Dougall, T J, (2000)," Decadal Changes along an Indian Ocean Section at 32°S and Their Interpretation", *Journal of Physical Oceanography*, PP 1207-1222.
- 10- Cannaby H, Hürevoglu Y S, (2009), "The influence of low-frequency variability and long-term trends in North Atlantic sea surface temperature on Irish waters", *Journal of Marine Science*, Vol. 66, No. 7, PP1480-1489.

- 11- Ezber Y, Lutfi Sen O, Kindap T, Karaca M, (2007), "Climate effects of urbanization in Istanbul: a statistical and modeling analysis", *International Journal of Climatology*, Vol 27, PP 667-679.
- 12- Feyen L, Kristensen P, Bodis K, (2008), "Impacts of Europe's changing climate-2008 indicator-based assessment-Water quality, river floods and droughts", European Environment Agency, Technical report 2008, ISBN 978-92-9167-372-8, DOI 10.2800/48117, 246 PP.
- 13- Goddard L, Mason S J, Zebiak S E, Ropelewski C F, Basher R, Cane M A, (2001), "Current approaches to seasonal to inter-seasonal climate predictions, International" *Journal of Climatology*, Vol. 21, PP 1111-1152.
- 14- Levitus S, Antonov J I, Boyer T P, Stephens C, (2000b), "Warming of the World Ocean", *Science Magazine*, Vol. 287, No. 5461, PP 2225-2229.
- 15- Lozier M S, Leadbetter S, Williams R G, Roussenov V, Reed M S C, Moore N J, (2008), "The Spatial Pattern and Mechanisms of Heat-Content Change in the North Atlantic", *Science Magazine*, Vol. 319, No. 5864, PP 800-803.
- 16- Nellemann C, Ahlenius H, Schoolmeester T, Sevaldsen P, Fabres J, Sørensen M, Kullerud L, Skaalvik J F, (2007), "Rapid Response Assessments In Dead Water", United Nation Environmental Program, Technical Report, 198 PP.
- 17- Paeth H, Hense A, (2004), "SST versus Climate Change Signals in West African Rainfall: 20th-Century Variations and Future Projections", *Journal of Climate Change*, Vol. 65, No. 1-2, PP 179-208.
- 18- Reynolds R W, Smith T M, (1994), "Improved Global Sea Surface Temperature Analyses Using Optimum Interpolation", *Journal of Climate*, Vol.7, PP 929-948.
- Saunders M A, Lea A S, (2007), "Large contribution of sea surface warming to recent increase in Atlantic hurricane activity", *Nature*, No. 451, PP 557-560.
- 19- Siegfried D. S. Suarez M. J. Pegion P. J., Koster R. D., (2003), "Causes of long-term drought in U.S. Great Plains", *Journal of Climate*, Vol.17.
- 20- Smith T M, Reynolds R W, (2002), "Extended reconstruction of global seas surface temperature based on CODAS data (1854-1997)", *Journal of Climate*, Vol. 16, PP 1495-1510.